

سنگ‌نگاری، جایگاه زمین‌ساختی و منشأ سنگ‌های آذرین اولیگوسن - میوسن شمال رزن

راغبیه محمدی^{۱*}، محمد هاشم امامی^۲ و منصور وثوقی عابدینی^۳

^۱دانشکده علوم پایه، دانشگاه آزاد اسلامی واحد آشتیان، آشتیان، ایران.

^۲پژوهشکده علوم زمین، سازمان زمین‌شناسی و اکتشافات معدنی کشور، تهران، ایران.

^۳دانشگاه علوم زمین، دانشگاه شهید بهشتی، تهران، ایران.

تاریخ پذیرش: ۱۳۸۷/۱۲/۰۷

تاریخ دریافت: ۱۳۸۵/۰۸/۲۳

چکیده

منطقه مورد مطالعه در حدود ۲۳۰ کیلومتری جنوب باختیاری تهران قرار گرفته است. مطالعات زمین‌شناسی بر روی این منطقه حاکمی از وجود توده‌های نفوذی بازیکن به سن احتمالی میوسن و گدازه‌هایی با طیف ترکیبی اسیدی تا بازیکن به سن اولیگوسن است. سنگ‌های نفوذی به طور عمده ترکیب گابروئی داشته و گدازه‌ها کم دامیست - روپوادسیت، آندزیت، تراکی آندزیت، هورنبلند آندزیت، آندزیت بازالت تشکیل می‌دهد سنگ‌های نفوذی یشتر ماهیت قلایی و گدازه‌ها کم و بیش ماهیت کلسیمی - قلایی را نشان می‌دهند. در مطالعات ژئوشیمیای ایزوتوپی گدازه‌های آندزیتی منطقه در محدوده ترکیب کل زمین قوار می‌گیرند، اما به نظر می‌رسد سنگ‌های گوشه‌ای ضمن استقرار در پوسته (بویزه پوسته قاره‌ای بالایی) با آن دچار آلودگی شده است. ترکیب $\text{Sr}^{88}/\text{Sr}^{87}$ جایگاه زمین‌ساختی توده‌های نفوذی منطقه که نمونه‌ای از سنگ‌ها چین و ضمیمی را نشان می‌دهد. نمودارهای عنکبوتی مربوط به عناصر کمیاب نشان می‌دهد که جایگاه زمین‌ساختی توده‌های نفوذی با محیط زمین‌ساختی کششی مطابقت می‌نمایند. این در حالی است که گدازه‌ها دارای نمودارهای عنکبوتی با روند پیکواختنی نبوده و به مناطق فروزانش شباهت بیشتری دارند. این مسئله بیانگر آن است که توده‌های نفوذی منطقه مورد مطالعه با سنگ‌های آتشفشاری بخش جنوبی آن تقاضت ژئوتکنیکی دارد.

کلیدواژه‌ها: خاستگاه ماجمایی، ژئوشیمی ایزوتوپی، آوج، رزن، آلاش ماجمایی، سنگ‌های نفوذی

*نویسنده مسئول: راغبیه محمدی

۱- مقدمه

توده‌های نفوذی و گدازه‌های منطقه شمال رزن با روند کلی شمال باخته - جنوب خاور، بخشی از زیر پهنه ارومیه-دختر به شمار می‌رود (Bolourchi, 1979). کهن‌ترین رخمنونهای سنگی منطقه مورد مطالعه که توده‌های نفوذی را نیز در بر گرفته‌اند را سنگ‌هایی با دگرگونی ضعیف (در حد رخساره شیست‌سبز) شامل اسلیت و شیست تشکیل می‌دهند و متعلق به تریاس بالایی - ژوراسیک هستند (Bolourchi, 1979). بر اساس مشاهدات صحرایی، توده‌های نفوذی مورد مطالعه با ترکیب عمده گابروئی در جنوب گسل آوج، در سنگ‌های دگرگونی درجه ضعیف فوق تزریق شده‌اند (شکل ۱). توده‌های گابروئی با رخمنونهای پراکنده روند شمال باخته - جنوب خاوری را به نمایش می‌گذارند. این روند در امتداد برگوارگی سنگ‌های با دگرگونی ضعیف در برگیرنده آنهاست. بر اثر تحمل دگرشکلی دمای بالا، این سنگ‌ها میلوبنتی شده‌اند. قاعده سنگ‌های دگرگون شده در ناحیه مورد مطالعه رخمنونهای تدارد، اما در بالا توسط سنگ‌هایی با دگرگونی ضعیف کرتاسه زیرین و سنگ‌های غیر دگرگونی انوسن در منطقه پوشیده شده‌اند. به نظر می‌رسد دگرگونی در حد فاصل کرتاسه و انوسن اتفاق افتاده است (Bolourchi, 1979). سرافراز (۱۳۷۴) با توجه به تزریق ماجمای نفوذی در سنگ‌های ژوراسیک، انوسن و اولیگوسن، آنها را به فعالیت‌های پلواتونیسم میوسن نسبت داده است. گدازه‌ها نیز به سن انوسن و اولیگوسن - میوسن هستند (که فقط بر روی گدازه‌های اولیگوسن - میوسن بحث به عمل می‌آید) و بر روی سنگ‌های آتشفشاری انوسن سازند سرخ زیرین متعلق به اولیگوسن قوار می‌گیرند. این سازند به صورت دگرشکلی روی سنگ‌های آتشفشاری انوسن و سازندهای قدیمی‌تر را می‌پوشاند و خود توسط سازند قم (به سن اولیگوسن - میوسن) به صورت دگرشکلی پوشیده می‌شود (علایی و فدازی، ۱۳۸۱). ستبرای زیادی از توف‌های سبز و سنگ‌های آتشفشاری رسوبات سازند قم را همراهی می‌نمایند. این مجموعه توسط سازند سرخ بالایی پوشیده می‌شود که به ظاهر در زمان بوردیگالین

براساس نتیجه‌گیری، بخشی از منطقه مورد مطالعه در استان همدان و بخشی دیگر در استان قزوین قرار گرفته و از نظر مختصات جغرافیایی بین طول های $۴۹^{\circ}۱۵' - ۴۹^{\circ}۰۰' \text{ و عرض } ۳۷^{\circ}۳۷' - ۳۵^{\circ}۳۵'$ شمالی واقع شده است. منطقه مورد مطالعه از لحاظ تقسیم‌بندی زمین‌شناسی، بخشی از زیر پهنه رزن و در مقایس بزرگ‌تر، سال‌ها پیش برخی مطالعات زمین‌شناسی بر روی این منطقه صورت گرفته است. Frei (1952); Mohajer & Pierce (1963); Bolourchi & Hajian (1979); Stahl (1911) و علایی و فدازی (۱۳۸۱)، (بخش جنوبی منطقه مورد مطالعه) از جمله زمین‌شناسانی بودند که به بررسی منطقه از دید گاههای گوناگون بوزیره زمین‌شناسی عمومی آن پرداختند. به طور کلی مطالعات انجام گرفته بر روی سنگ‌های آذرین منطقه اندک بوده و به طور عموم برای تهیه نقشه‌های زمین‌شناسی $1: 250000$ (کیوبدر آهنگ) Bolourchi & Hajian (1979) و $1: 100000$ (رن و آوج) انجام پذیرفته است. سنگ‌های آذرین منطقه را به دلیل عدم وجود فلدرسپاتویلد در مقاطع نازک و نورم، جزء مری کلسیمی - قلایی بر شمردند. توده‌های پراکنده توده کشیده در سنگ‌های در باخت شهرستان آوج واقع شده و به صورت چندین توده کشیده در تزریق شده‌اند. گدازه‌ها نیز در شمال شهرستان رزن و جنوب آوج قرار گرفته‌اند. گدازه‌ها طیف ترکیبی از اسیدی تا بازی را نشان می‌دهند. وجود توده‌های نفوذی و سنگ‌های آتشفشاری در فاصله نه چندان دور از یگدیگر، پرسش‌هایی را پیرامون جایگاه و منشأ این سنگ‌ها مطرح می‌نمایند. در این پژوهش سعی شده تا با استفاده از نتایج مطالعات صحرایی، سنگ‌نگاری حدود ۲۰۰ مقطع میکروسکوپی و تجزیه و تحلیل داده‌های ژئوشیمیایی 27 نمونه از گدازه‌ها و 15 نمونه از توده‌های نفوذی و 5 نمونه تجزیه ایزوتوپی از گدازه‌ها، منشأ و محیط زمین‌ساختی توده‌های مذکور بررسی شود.

نهشته شده‌اند (Bolourchi, 1979).

۳- سنگ‌نگاری

۱- گذازه‌ها

این سنگ‌ها در نمونه‌های دستی رنگ خاکستری تیره و دانه‌بندی متوسط را نشان می‌دهند. کانی‌های فلدسپاری به صورت تیغه‌های سفید رنگ و بلورهای پیروکسن به رنگ سیاه در متن نمونه‌ها قابل مشاهده هستند. در مطالعات میکروسکوپی گابروها به طور عموم از پیروکسن و پلازیوکلاز تشکیل بافته‌اند و بافت افیتیک، ساب افیتیک و ایترگرانولار و گاهی کلاستیک از خود نشان می‌دهند (شکل ۵). بافت‌های مذکور می‌توانند دلیلی بر زرگرایی کم مانگما باشد. پلازیوکلازها از کانی‌های اصلی گابروها به شمار می‌روند و گاه فراوانی آنها به بیش از ۷۰ درصد می‌رسد. این کانی‌ها به صورت خودشکل و نیمه‌شکل دار همراه با چند تایی مکرر (پلی‌ستیک) دیده می‌شوند. سطح برخی از این کانی‌ها تا حدودی دگرسان شده است. در مواد دگرسان شده، در ظاهر دگرسانی حاشیه‌ها کمتر از دگرسانی مراکتر پیشرفت داشته است که می‌توانند دلیلی بر کلیسیک‌دارتر بودن مراکتر نسبت به حاشیه‌ها باشد. پلازیوکلازها در اثر دگرسانی به سریست، کلریست، کلسیت و اپیدوت تبدیل شده‌اند (شکل ۶). در مقاطع میکروسکوپی گابروها به ندرت منطقه‌بندی دیده می‌شود. وجود منطقه‌بندی در پلازیوکلازها در نتیجه سرعت پیشرفت تبلور نسبت به تعادل تلقی می‌شود (Shelly, 1993).

بنابراین می‌توان چنین استنباط نمود که بلورهای پلازیوکلاز با مانگما در مدت طولانی در حال تعادل بوده‌اند. برخی بلورهای پلازیوکلاز مشاهده شده در مقاطع نازک شکسته شده‌اند که می‌توانند در اثر تحمل دگر شکلی باشد. پیروکسن‌های موجود در گابروها به طور عمده از نوع کلینوپیکسن بوده و فراوانی قابل ملاحظه‌ای دارند به طوری که در برخی نمونه‌ها ۴۰ درصد سنگ را تشکیل می‌دهند. با توجه به زاویه خاموشی، نوع آنها اوریت تھیں شده است. این کانی نیز مانند پلازیوکلازها به صورت خودشکل تا نیمه‌شکل دار قابل مشاهده شده و تا حدودی نیز دگرسانی نشان می‌دهند. دگرسانی اوریتی، کلریست و اپیدوتی شدن در این کانی‌ها مشاهده می‌شود. کانی‌های فرعی مانند مگنتیت، هماتیت، اسفن و آپاتیت نیز در نمونه‌ها حضور دارند.

۴- ژئوشیمی و محیط‌زمین‌ساختی

۱- گذازه‌ها

به متوجه تعیین ویژگی‌های ژئوشیمیایی و جایگاه زمین‌شناختی گذازه‌های اویلگومن-سیوسن منطقه مورد مطالعه، از نتایج ۲۷ تجزیه ژئوشیمیایی عناصر اصلی و فرعی آزمایشگاه XRF سازمان زمین‌شناسی و شرکت بینالود استفاده شده است (جدول ۱). نامگذاری گذازه‌ها (نمودار ۱۹۷۷ Winchester & Floyd) که بر اساس $0/0001 \text{Nb}/\text{TiO}_2$ - است (شکل ۷)، نمونه‌ها در محدوده‌های ریودادیت - داسیت، آندزیت، تراکی آندزیت و بازالت واقع شده‌اند. مطالعه نورم (جدول ۲) گذازه‌ها نشان می‌دهد که پیشرفت سنگ‌های آتشفسناتی اویلگومن در نورم خود کوارتز دارند و پیشرتین کوارتز نورماتیو نمونه‌ها ۳۶ درصد است. در نمونه‌های اویلیون نورماتیو دیده می‌شود. تعداد نمونه‌های حاوی کرونودوم نورماتیو نیز قابل ملاحظه است که نشان دهنده میزان نسبی آلمین بالا در نمونه‌ها است. آنورتیت نورماتیو نمونه‌ها بین ۴ تا ۲۰ درصد در نوسان است. در نمونه‌های نفلین نورماتیو به چشم می‌خورد. آپاتیت کم و بیش در منه نمونه‌ها حضور دارد و پیروکسن نورماتیو (انواع دیوپسید و هیرستن) در پیشرفت سنگ‌های آتشفسناتی اویلگومن در شدن سنگ مقدار آن افزایش نشان می‌دهد. مطالعه نورم سنگ‌های آتشفسناتی منطقه نیز باز دیگر تفرقه بلورین را اثبات می‌کند. با ترسیم تغیرات اکسیدهای عناصر قلایانی در برابر SiO_2 در نمودار (Irvin & Baragar, 1971) سری مانگماهای گذازه‌ها تعیین می‌شود. همانگونه که در شکل ۸ مشخص است پیشرفت نمونه‌ها در محدوده

گذازه‌های منطقه مورد مطالعه را داسیت-ریودادیت، آندزیت، تراکی آندزیت، هورنبلند آندزیت، آندزیت بازالت تشکیل می‌دهد. مطالعات میکروسکوپی نشان می‌دهد که بافت گذازه‌ها پوروفیری، میکرولیتیک پوروفیری، گلومروپوروفیری و هیالوپوروفیری است و فتوکریست‌ها گاه بافت سری‌ایت را نشان می‌دهند. دگرسانی کاتولینیتی شدن، سریستی شدن و سوموریتی شدن در فلدسپارها، کلریتی شدن در آمفیبولوها و بیوتیت‌ها کم و بیش در پیشرفت نمونه‌ها دیده می‌شود. آندزیت‌ها بیشترین سهم از گذازه‌های منطقه را به خود اختصاص می‌دهند. یکی از تفاوت‌های مهم داسیت-ریودادیت‌ها با دیگر نمونه‌ها در زیر میکروسکوب حضور چشمگیر و فراوان‌تر پلازیوکلازها با بافت غربالی است (شکل ۲). به طور کلی در این سنگ‌ها دو نوع پلازیوکلازا با بافت متفاوت به چشم می‌خورد: نوع اول که به شدت غربالی بوده، حالت خباری داشته و حاوی حفره‌های بسیار روز هستند و گاه دارای ادخال‌های شیشه نیز هستند (شکل ۲) و نسبت به نوع دوم فراوانی کمتری دارند و نوع دوم که بافت غربالی نشان نمی‌دهند و شکل بلوری به نسبت کامل تری نیز دارند. در زمینه برخی نمونه‌های داسیتی میکروپیلهای بازیک مشاهده می‌شود (شکل ۳). در آندزیت‌ها، درشت بلورهای اصلی این سنگ‌ها را پلازیوکلازهای خود شکلی تشکیل می‌دهند که منطقه‌بندی (زوونیگ) و ماکل پلی‌ستیک از ویژگی‌های شایع آنها است. هورنبلندهای خود شکل که در برخی مواد دارای حاشیه اپاسیتی شده و اکسیده هستند، از دیگر درشت بلورها به شمار می‌آیند (شکل ۴). کانی‌های پلازیوکلاز تراکی آندزیت‌ها در برخی مواد محدود دارای بافت غربالی هستند. برخی از آنها دارای حاوی کرونودوم شده‌اند که می‌توانند در اثر جذب مجدد ناقص باشد. هورنبلندها و بندرت پیوتیت‌های موجود نیز دارای حاشیه اپاسیتی شده‌اند و برخی آمفیبولوها دارای حاشیه واجلبی هستند. هورنبلند آندزیت‌ها حاوی مقدار پر پیشتری هورنبلند به صورت خود شکل (سالم و اپاسیتی شده) هستند.

آندرزیت‌های بازالتی علاوه بر هورنبلند دارای مقادیر قابل توجهی پیروکسن‌های خود شکل هستند که در بسیاری مواد دارای حاشیه اپاسیتی و کریاتی شده‌اند. گاه اپاسیتی و کریاتی شدن به حدی پیشرفت نموده است که فقط قالبی از این کانی‌ها به جا مانده است. درشت بلورهای کلینوپیکسن در تراکی بازالت‌ها به صورت خودشکل و نیمه‌شکل دار قابل مشاهده‌اند که برخی از آنها سالم و برخی دیگر اپاسیتی شده‌اند پلازیوکلازها به عنوان درشت بلور کمتر در این سنگ‌ها دیده می‌شوند. زاویه خاموشی پلازیوکلازها، ترکیب آنها را آندزین تا لاپرادوریت نشان می‌دهد. خمیره سنگ از میکرولیت‌های تشکیل شده که گاه بافت جریانی را به نمایش می‌گذارند. درشت بلورهای پیروکسن به صورت خود شکل و نیمه‌شکل دار قابل مشاهده‌اند که برخی از آنها سالم و برخی دیگر اپاسیتی شده‌اند. در این نوع سنگ‌ها بافت گلومروپوروفیری دیده می‌شود که می‌توانند نشانه‌ای از تبلور ترقیقی باشد شواهد سنگ نگاری نشان می‌دهند برخی از گذازه‌های بازیک پوروفیریک، دارای تجمعاتی از بلورهای اویلیون، کلینوپیکسن و پلازیوکلاز هستند. ترکیب شیمیایی گذازه‌های فوران یافته از یک خزانه مانگماهای حاوی چنین کانی‌هایی، حاکی از تشکیل ابناشده‌های بلوری در قاعده حجره‌های مانگماهی است و نشان از تبلور جزء به جزء در حین تبلور مانگما را دارد.

۳- توده‌های نفوذی
توده‌های نفوذی منطقه شامل گابرو، گابرو-آنورتوزیت و دولریت هستند. گابروها بیشترین حجم سنگ‌های نفوذی را به خود اختصاص می‌دهند.

اندازه‌گیری به عمل آمد (جدول ۳). این دو نسبت ایزوتوپی در برابر هم دارای روند منفی هستند. (شکل ۱۲). همبستگی مثبت بین دو عنصر Hf و Zr با نسبت ایزوتوپی $\text{Sr}^{88}/\text{Sr}^{87}$ که در نمونه‌های تجزیه شده به چشم می‌خورد، را برخی محققان (Rollinson, 1997) به آلدگی ماقمایی یا آبخنگی ماقمایی با منشأهای متفاوت نسبت داده‌اند. شکل‌های ۱۳ و ۱۴ روند مثبت هر دو عنصر Hf و Zr را نشان می‌دهد. به ظاهر ماقمایی آندزیتی متعلقه از نظر ایزوتوپ‌های $\text{Nd}^{143}/\text{Nd}^{144}$ و $\text{Sr}^{87}/\text{Sr}^{86}$ ترکیب کلی زمین قبل از شکل‌گیری پوسته (BSE) قرار دارد (شکل ۱۵)، ولی گاه به نظر می‌رسد که سنگ‌های گوشته‌ای ضمن استقرار در پوسته (بویژه پوسته قاره‌ای بالایی) با آن دچار آلدگی ماقمایی شده که در نمونه‌های سنگ‌نگاری نیز بخش‌های نامنظم با ترکیب متفاوت تری نیز حضور دارند که شاهدی بر این مدعاست. همان‌گونه که در نمودار مشخص است، ترکیب BSE به طرف غنی‌شدگی از نسبت $\text{Sr}^{87}/\text{Sr}^{86}$ جایه جا می‌شود و نمونه‌ای از آندزیت‌ها چنین وضعیت را نشان می‌دهد.

۴-۲. توده‌های نفوذی

برای بررسی ژئوشیمی نفوذی‌ها تعداد ۱۵ نمونه به روش XRF تجزیه شده‌اند. جدول ۴ داده‌های عناصر اصلی مربوط به تجزیه این توده‌ها را نشان می‌دهد. بر اساس داده‌های ژئوشیمی اکسیدهای عناصر قلایی در برابر SiO_2 ترکیب سنگ‌شناسی سنگ‌های آذرین نفوذی متعلقه شمال رزن تعیین شده است. همان‌گونه که شکل ۱۶ نشان می‌دهد تمامی نمونه‌ها در محدوده گابرو قرار می‌گیرند. مطالعات میکروسکوپی مقاطع نازک نیز این نتیجه‌گیری را تأیید می‌نماید. همچنین با توجه به شکل ۱۶ مشخص می‌شود که بیشتر نمونه‌ها در بخش بالایی (مح‌دوده قلایی) واقع می‌شوند.

برای مشخص نمودن وضعیت ژئوشیمی ایزوتوپی نمونه‌ها از نمودارهای اکسیدهای عناصر اصلی در برابر SiO_2 استفاده شده است (شکل ۱۷). میزان TiO_2 در محدوده $\text{Ti}^{0.099}-\text{Ti}^{0.166}$ تا $\text{Al}^{0.099}-\text{Al}^{0.121}$ تا $\text{Fe}^{0.779}-\text{Fe}^{0.855}$ است. این اکسید در برابر SiO_2 روند افزایشی اندکی دارد. علت به وجود آمدن چنین روندی تفرق اولیه ماقمایی است که کانی‌های مافیک مانند پیروکسن از ماسگما جدا می‌شوند. به همین دلیل همراه با افزایش SiO_2 مقدار Al_2O_3 در ماسگما افزایش نشان می‌دهد. میزان تغیرات MgO نیز از $0.62-0.69$ تا $0.74-0.89$ درصد وزنی را شامل می‌شود. تغیرات این اکسید در برابر SiO_2 افزایشی است. این روند افزایشی حاکی از تبلور کانی‌های مانند کلینوپیروکسن است. محدوده تغیرات CaO نیز از $0.85-0.95$ تا $1.14-1.21$ است. فراوانی این اکسید در برابر SiO_2 روند کاهشی نشان می‌دهد. تبلور کانی‌های مافیک، روند کاهشی این اکسید را توجیه می‌کند. مقدار تغیرات اکسید CaO از $0.85-0.95$ تا $1.14-1.21$ را شامل می‌شود. این اکسید نیز در برابر SiO_2 روند کاهشی نشان می‌دهد که نتیجه معرف این اکسید در حین تبلور پیروکسن‌های و پلازیوکلازهای کلیک است. دامنه تغیرات K_2O از $0.26-0.79$ تا $0.74-0.89$ است و روند آن با افزایش SiO_2 یک روند افزایشی ضعیف است. مقدار Na_2O نیز همانند K_2O یک روند افزایشی ضعیف را نشان می‌دهد. با توجه به وضعیت تغیرات دو اکسید Na_2O و K_2O در برابر SiO_2 ، پراکندگی‌ها و عدم تغییر روند صعودی کامل می‌تواند در اثر دگرسانی باشد. محدوده تغیرات P_2O_5 در نمونه‌ها از $0.01-0.07$ است و با افزایش SiO_2 روند نشان می‌دهد. از آنجا که فسفر در مراحل اولیه تفرق ماقمایی معرف نمی‌شود و در کانی‌های مانند آپاتیت حضور می‌یابد، چنین روندی قابل انتظار است. با توجه به روندهای مختلف بین اکسیدهای عناصر اصلی و SiO_2 ، تفرق بلورین یکی از مهم‌ترین پدیده‌های

کلیمی-قلایی واقع می‌شوند. نمونه‌هایی که در محدوده نیمه‌قلایی واقع شده‌اند پس از پیاده شدن در نمودار مثلثی (Irvin & Baragar, 1971) (Irvin & Baragar, 1971) در محدوده کلیمی-قلایی واقع می‌شوند (شکل ۹). با توجه به شکل ۹ مشخص می‌شود که نمونه‌ها روند تفرق ماقمایی را نیز به نمایش می‌گذارند.

به منظور بررسی وضعیت ژئوشیمی ایزوتوپی گذارهای اولیگوسن-میوسن منطقه، از نمودارهای فراوانی اکسیدهای عناصر اصلی در برابر SiO_2 استفاده شده است (شکل ۱۰). محدوده تغیرات Al_2O_3 در نمونه‌ها به طور تقریبی از $1.16-1.12$ درصد وزنی است. در نمودار، این اکسید تا حدودی روند افزایشی را در برابر افزایش SiO_2 همراه با اندکی پراکندگی به نمایش می‌گذارد. تبلور و تفرق محدود کانی‌های مافیک مانند پیروکسن در مراحل اولیه تفرق ماقمایی موجب افزایش Al_2O_3 شده است. میزان TiO_2 در نمونه‌ها بین $0.04-0.07$ تا $0.08-0.11$ درصد وزنی است. با افزایش SiO_2 روند کاهشی به طور کامل مشخصی در نمونه‌ها به چشم می‌خورد. عنصر Ti دارای شعاع یونی مشابه با Fe است و در کانی‌های مافیک جانشین این عنصر می‌شود و روندی مشابه Fe را خواهد داشت. دامنه تغیرات MgO از $0.12-0.17$ درصد وزنی در تغیر است و فراوانی آن با افزایش SiO_2 کاهش مشخصی می‌یابد. این روند با تبلور کانی‌های مافیک مصرف کشته این اکسید مطابقت دارد. اکسیدهای Na_2O و K_2O به ترتیب دارای مقادیر $0.06-0.08$ تا $0.03-0.04$ تا $0.07-0.08$ است. این دو اکسید همراه با پراکندگی‌های مشخصی روند مشتبه را نشان می‌دهند. مقدار تغیرات و پراکندگی اکسیدهای عناصر متخرکی مانند K و Na تا $0.01-0.02$ است. اکسید P_2O_5 دارای حدود زیادی به علت دگرسانی سریعی شدن و رسی شدن است. اکسید P_2O_5 دارای دامنه تغیراتی از $0.01-0.04$ تا $0.04-0.07$ است و با افزایش SiO_2 کاهش می‌یابد. این وضعیت حاکی از ناسازگاری بودن فسفر و تبلور آپاتیت در اواخر مراحل تبلور ماقمایی و تفرق بلورین است. نمودارهای تغیرات اکسیدهای عناصر اصلی در برابر SiO_2 نشان می‌دهد که تبلور تفرقی نقش اصلی را در تکامل ژئوشیمی ایزوتوپی ماسگما به عهده دارد. برای تعیین و تشخیص محیط زمین‌ساختی ماقمایی گذاره‌ها، فراوانی عناصر کمیاب نمونه‌های مورد مطالعه بر روی نمودارهای عنکبوتی بهنچار شده با گشته اولیه، مورد بررسی قرار می‌گیرد (شکل ۱۱).

نمودار عنکبوتی مربوط به گذارهای اولیگوسن-میوسن منطقه حاکی از آن است که Ba و Sr افزایش نشان می‌دهد. باریم جانشین پتانسیم فلدسپار، هورنبلند و Sr بیوتیت می‌شود. محتوای باریم ممکن است یانگر نقش یکی از این فازهای باشد. Sr نیز به راحتی جانشین Ca در پلاتزیوکلاز و K در پتانسیم فلدسپار می‌شود. این در حالی است که این عنصر در شرایط گوشته به صورت یک عنصر ناسازگار عمل نموده و به سهولت وارد فازهای کانیایی نمی‌شود. همان‌گونه که از نمودار شکل ۱۱ مشخص است نمونه‌های گذاره K و Ti قبیر شدگی نشان می‌دهند. از سوی دیگر برآمدگی‌های مثبت در نمودارهای عنکبوتی بیشتر ناشی از اجزای افزوده شده به منشأ گوشته‌ای توسط سیال‌های زون فرورانش اند (Wilson, 1989).

اهمیت نسبت‌های ایزوتوپی رادیوژنیک در آن است که آنها به طور مکرر در واقعی تفرق شیمیایی که تشکیل و تکامل ماقمایی می‌کنند، ثابت باقی می‌مانند. زیرا ایزوتوپ‌های سنگین‌تر، از یکدیگر ضمیم تعادل بلور-مایع جدا نمی‌شوند. بنابراین در حین فرایندهای تبلور تفرقی بعدی ثابت خواهد ماند مشروط بر آن که ماسگما به وسیله تأثیر مقابل سنگ‌های دیواره با ترکیب ایزوتوپی مشخص با بخش‌های دیگر آلدود نشود (Wilson, 1989). به منظور بررسی ژئوشیمی ایزوتوپی با هدف کامل تر نمودن مطالعات ژئوشیمی ایزوتوپی برای تشخیص آلاش احتمالی ماسگما، ۵ نمونه از آندزیت‌های اولیگومیوسن برای تجزیه شیمیایی ایزوتوپی به کشور چین ارسال شد و از نسبت‌های ایزوتوپی $\text{Sr}^{87}/\text{Sr}^{86}$ و $\text{Nd}^{143}/\text{Nd}^{144}$ در آنها

روند تحول ماقمایی تشکیل دهنده گدازه‌ها حائز اهمیت بوده است. حضور دو نوع آمفیبول و یا دو نوع پپروکسن به طور کامل اپاپستی شده و سالم در یک مقطع، حالت غباری و وجود حفره‌های بسیار ریز روی برخی از پلازیوکلازهای دارای بافت غریبی (اما می و خلعتبری، ۱۳۷۶) از شواهد آمیختگی ماقمایی در گدازه‌های منطقه است. با توجه به چنین مشاهداتی، شاید بتوان علت تشکیل پلازیوکلازهای منطقه را به مر دو عامل (آمیختگی ماقمایی و افت سریع فشار) نسبت داد. فراوانی FeO کل در سنجنگ‌های نفوذی منطقه چشمگیر است. فراوانی این اکسید در سنجنگ‌های بازی حاکی از ژرفای ماقمای سازنده این سنجنگ‌ها است (Horse, 1993). فراوانی این اکسید در برابر Mg با نسبت ۰/۶ که بر اساس مطالعات (Horse, 1993) صورت پذیرفته است (شکل ۲۲) با ژرفای حدود ۶۰ کیلومتری برای ماقمایی مازانه طبقت دارد. توده‌های نفوذی منطقه، دارای میانگین نیکل ppm ۶۰، کروم ppm ۱۸۳ هستند. بنابراین ماقمایی تشکیل دهنده آنها نمی‌توانسته‌اند در تعادل با گوشته بالایی قرار گیرند (Wilson, 1989). از این رو این ماقمایی به اختصار، یا تحولات ماقمایی را متحمل شده و یا از یک گوشته متاسوماتیزه مشاً گرفته‌اند. نظریات و مدل‌های مختلف در ارتباط با محیط تکونوماگمایی شمال زون ایران مرکزی و ارومیه- دختر عنوان شده است. عده‌ای از محققان خاستگاه ماقمایی زون ارومیه- دختر را برخورد بلوک ایران و عرسستان می‌دانند (معین وزیری، ۱۳۸۳) و برخی دیگر آن را به وجود تیغه‌های گرمایی در زیر بلوک ایران نسبت می‌دهند (Emami, 1981) (Bolouri, 1979). آذربیان منطقه در میان اسلیت‌ها (نفوذی‌ها) و سازند قم (آتشفانی‌ها) تزریق شده و توسط ساختارهای زمین‌شناسی کترول شده است.

مرافراز (۱۳۷۴) نیز توده‌های نفوذی آرچ را متعلق به میوسن می‌داند. تفاوت‌های ژئوشیمیایی مشخصی بین توده‌های نفوذی و آتشفانی‌هایی بخش جنوبی آن برخلاف فاصله نزدیک وجود دارد. همان گونه که مشخص شد، گدازه‌ها ویژگی سری ماقمایی کلیمی- قلایی و نفوذی‌ها قلایی را نشان می‌دهند. علاوه بر آن از نظر عنصر کمیاب در نمودارهای عنکبوتی نیز تفاوت‌هایی آشکار است. همان گونه که در شکل‌های ۱۸، ۱۹ و ۲۰ مشخص است، عنصری مانند La و Nb در نفوذی‌ها غنی شده‌اند. غنی شدگی از Nb یک از وجوه مشخص کننده مناطق کششی است. این در حالی است که نسبت به برخی عنصر دیگر فقیر شدگی نشان می‌دهن. بنابراین منشا سنجنگ‌های آتشفانی و توده‌های نفوذی منطقه تفاوت ژنتیکی نشان می‌دهن. علت ماقمایی‌سیم بروزه فعالیت آتشفانی منطقه در واقع توسعه نیروهای کششی در اثر بالازدگی پرسته قاره‌ای و گسل خوردگی آن است که منجر به کاهش فشار بر روی مواد مازانه گوشته شده، ذوب شده و به سمت پرسته صعود نموده است. ماقمایی‌حاصیل به اختلال زیاد که بخش‌های زیرین پرسته تاحدودی متوقف شده و شرایط ذوب پرسته نیز هر چند اندک فراهم شده است. این وضعیت آلایش ماقمایی را نیز توجیه می‌نماید.

۶- نتیجه‌گیری

منطقه مورد مطالعه در شمال رزن همدان و حدود ۲۳۰ کیلومتری جنوب باختری تهران واقع شده است. توده‌های نفوذی با ترکیب عمدۀ گابروئی در بخش باختری شهرستان آرچ و گدازه‌ها با ترکیب بازیک تا اسیدی را بخش جنوبی توده‌های قرار دارند. توده‌های نفوذی گابروئی در میان سنجنگ‌های دگرگونی درجه ضعیف (اسلیت تا شیست) مربوط به مزوژوییک تزریق شده‌اند و روندی مشابه برگوارگی سنجنگ‌های دگرگونی اطراف خود را دارا هستند. این توده‌ها توائمه‌اند هاله دگرگونی مجاورتی کوچکی را در حاشیه توده‌های نفوذی ایجاد نمایند. همچنین در اطراف گابروها حاشیه انجام داد سریع نیز مشاهده می‌شود که در محل بی‌واسطه با سنجنگ میزان

است که در حین تبلور ماقمایی تشکیل دهنده سنجنگ‌های نفوذی اتفاق افتاده است. نمودارهای عنکبوتی به منظور تعین تفرقی بلورین یا ذوب بخشی به کار می‌رود. در این رابطه، الگوهای REE در سنجنگ آذربیان به وسیله شبیه REE مثنا آن سنجنگ و تعادل بلور-منتاب که در طول تکامل آن سنجنگ رخ داده کترول می‌شود (Rollinson, 1997). شکل ۱۸ نمودار عنکبوتی مربوط به عناصر نادر خاکی REE نمونه‌ها که با کندریت بهنجار شده‌اند، را نشان می‌دهد. همان گونه که مشخص است، تغییراتی در رابطه با عناصر Yb، Eu و Lu مشاهده می‌شود.

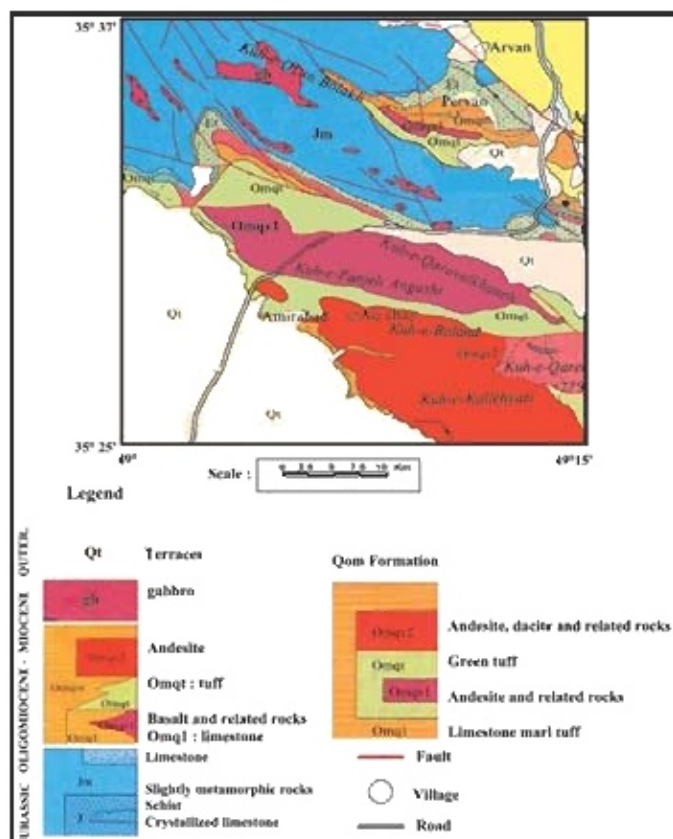
بر اساس تحقیقات Nelson (2004) اگر الگوی عنصر نادر خاکی (کمیاب) مربوط به درصدهای مختلف ذوب بخشی و درجات مختلف تفرقی بلوری، نسبت به کندریت بهنجار شوند، در مراحل اولیه ذوب بخشی عناصر LREE با فراوانی زیاد وارد منتاب شده و به عکس آن، عناصر REE با مقادیر کمتر حضور دارند. در این حالت مقادیر عناصری مانند Lu و Yb در درصدهای متقاضی ذوب بخشی به نسبت ثابت است، اما با پیشرفت شدن درجات تفرقی بلوری این عناصر نیز افزایش نشان می‌دهند. بهنجاری مشتمل Eu را می‌توان به جدایش کانی‌های کلینیپروکسن، ارتپیروکسن و اسفن نسبت داد (Rollinson, 1997). در نتیجه الگوی فراوانی عناصر کمیاب، نمونه‌های آذربیان نفوذی با الگوی تفرقی بلوری پیشتر مطابقت می‌نماید. نمودار عنکبوتی مربوط به عناصر جزئی نیز در تشخیص جایگاه زمین‌ساختی ماقمایی تشکیل دهنده سنجنگ‌های نفوذی شایان اهمیت است. نمودار عنکبوتی عناصر کمیاب با کندریت و گوشته اولیه بهنجار شده است (شکل ۱۹). محيط‌های زمین‌ساختی مختلف، الگوهای ویژه خود را دارا هستند. برخی نمودارها پکنواخت (مانند MORB) و برخی غیر پکنواخت (مانند مناطق فرورانش) هستند (Kampunzu et al., 2003). در نمودار عنکبوتی به توده‌های نفوذی منطقه، غنی شدگی را در عناصری Ba, Zr, La, Nb مشاهده می‌نماییم که با یک موقعیت زمین‌ساختی کششی و کافت قاره‌ای مطابقت می‌نماید. با توجه به تغییرات اکسیدهای عناصر قلایی در برابر SiO₂ در نمودار Irvin & Barager (1971) می‌توان سری ماقمایی سنجنگ‌های نفوذی را تعیین نمود. همان گونه که در شکل ۲۱ مشخص است پیشرفت نمونه‌ها در محدوده قلایی واقع می‌شوند.

۵- خاستگاه و تخلوایات ماقمایی

سنجنگ‌های آذربیان منطقه مورد مطالعه شامل توده‌های نفوذی و آتشفانی است. نتایج مطالعه مقاطع نازک و نمودارهای ژئوشیمیایی گدازه‌ها حاکی از آن است که گدازه‌ها طیف ترکیبی از بازی تا اسیدی را نشان داده و به خوبی گویای روند تفرقی هستند. برخی پدیده‌ها در ارتباط با گدازه‌ها حائز اهمیت است. از جمله این موارد می‌توان به اپاپستی شدن برخی کانی‌ها اشاره نمود. کانی‌هایی مانند هورنبلند، پیروکسن و در موارد محدودی یوپیت این پدیده را نشان می‌دهند. علت تشکیل چنین امری را برخی به افت سریع فشار مربوط می‌دانند (Rutherford & Hill, 1993). عقیده بر آن است که افت فشار محدوده پایداری کانی‌ها را کاهش داده و آنها را دچار واجدبی می‌نماید. در تیجه حاشیه سیاه ونگی در اطراف بلورهای مانند هورنبلند تشکیل می‌شود که به آن حاشیه اپاپستی می‌گویند (Devine & Singursson, 1995). از سوی دیگر، در برخی نمونه‌ها بافت غربالی مشاهده می‌شود. در مورد تشکیل این بافت سه نظریه وجود دارد که عبارتند از: رشد اسکلتی سریع، آمیختگی ماقمایی و افت سریع فشار یا دامپرسیون ماقمایی که جزیات هر نظریه توسط محققان مختلف بحث شده است (جلالی قمبوانی، ۱۳۷۸) از میان این نظریه‌ها، رشد سریع اسکلتی طرفداران چندانی ندارد، اما دو عامل دیگر را امروزه مهم‌ترین عوامل تشکیل بافت غربالی می‌دانند (امینی، ۱۳۸۱). با توجه به دو پدیده یاد شده، افت سریع فشار در

۹ کیلومتری برای مانگماهی سازنده توده‌های نفوذی است. مانگماهی تشکیل دهنده توده‌های نفوذی به دلیل مقادیر کم کروم و نیکل نبی توانسته‌اند در تعامل با گفرش به بالای قلل را گیرند. از این رو این مانگماهی به احتمال با تحریلات مانگماهی رامتحمل شده و با از یکه گوشته متسوس‌ماتیزه منشاً گرفته‌اند. بررسی نمودارهای هنکریتی مربوط به عناصر کمیاب (REE) در توزعهای مربوط به توده‌های نفوذی نشان می‌دهد که این نمره‌ها بین‌جایی مثبتی از REE را نشان می‌دهند که من قران آن را به جدایش کنندهای کلیوپیر و کسن، ارتقپیر و کسن و اسفن نسبت دارد. افزایش میزان عنصری مانند La و Yb روند تغیر پلوری را نشان می‌دهد. به طور کلی می‌توان گفت که الگوی فراوانی عنصر کمیاب نمونه‌های آنفرن نفوذی با ماهیت تغیر پلوری پیشتر مطابقت دارد. نمودارهای توزیع سری مانگماهی، توده‌های نفوذی را کم و پیش قلبایی و سنجک‌های آتشفلشن را به طور محدود کلیپسی - قلبایی معرفی می‌نمایند. شواهدی دال بر هر دو پدیده آلاش و آمیختگی مانگماهی را زده در سنجک‌های آتشفلشن دیده می‌شود اما ابراز نظری مطعن می‌بر این که کدام پدیده تأثیر پیشتری داشته و در چه قدر این صورت پذیره است، تیزیت مطالعات دقیق نر است. توزودارهای هنکریتی مربوط به عناصر چزوئی که برای توزیع جایگاه زمین‌ساخت به کار رفته‌اند نشان می‌دهد که توده‌های نفوذی منطقه از عنصری مانند Ba-Zr-La-Nb فوت شده و با مسیط زمین‌ساختی کششی مطابقت می‌نمایند این در حالی است که گذازهای دارای نمودارهای هنکریتی با روند یکنواختی نبوده و تا حدودی به صورت پرجستگی و لرورگی مشاهده می‌شوند و به مناطق فروراش شیاهت پیشتری دارند این مسئله پیانگر آن است که توده‌های نفوذی منطقه مورد مطالعه با سنجک‌های آتشفلشن پنهان چزین آن تفاوت ژئیکی دارد.

قرار دارد. بر اساس مطالعات میکروسکوپی، توده‌های نفوذی به طور محدود ترکیب گلبروی و گذازهای در طبق ترکیب داشت. ریوداست، آندزیت، تراکنی آندزیت، هوربیلت آندزیت، آندزیت بازالت، تراکنی بازالت قرار می‌گیرند. توزودارهای زنگ‌شیاسی که برای توزیع ترکیب سنگ‌شناسی استفاده شده‌اند نیز این نتایج را تایید می‌کنند. بررسی مطالعه نازک میکروسکوپی، نمودارهای ژنوجیوای اکسیدهای عنصر اصلی هر برابر SiO_2 و خار عنصر کمیاب و نمودار مثلثی توزیع سری مانگماهی روند تغیر مطالعه مانگماهی را در گذازهای مشخص می‌دارند. در گذازهای دامیتی میکروپلولهای با ترکیب بازالت تر مشاهده می‌شود که به آمیختگی مانگماهی مرتبط است. در نمونه‌های با ترکیب سنگ‌شناسی داشت. رو دامیت منطقه پلاتزیو کلارازهای با بافت غربالی مشاهده می‌شود. در بخش نمونه دو نوع پلاتزیو کلاراز با بافت مخاوت به هضم می‌خورد: نوع اول که به خدت غربالی بوده و گاه دارای مانبارهای شیشه هستد و نسبت به نوع دوم غربالی که خوشی داردند و نوع دوم که بافت غربالی نشان نمی‌دهند و شکل پلوری به تسبیت کامل تری نیز دارند. مشاهده این مورد دخالت انتشار و آمیختگی مانگماهی به صورت همزمان را در روند تحویل مانگماهی این نوع سنگ‌ها محصل می‌سازد. در مطالعات زنگ‌شیاسی ایزوتوپی گذازهای آندزیتی منطقه در محدوده ترکیب کل زمین BSB قرار می‌گیرند ولی به تقریب محدود منگک‌های گوشه‌ای ضمن استقرار در پوسته (پوسته قاره‌ای بالایی با آن دچار آسودگی شده است). ترکیب BSB به طرف خنی‌شدگی از نسبت $\text{Sr}^{87}/\text{Sr}^{86}$ چایه‌جا شده است که نمودهای از سنگ‌ها چنین وضعیت را نشان می‌دهند. فراواتی $\text{Pb}/\text{Pb}_{\text{std}}$ از ۰.۷۶۵ تا ۰.۷۶۸ می‌باشد. حاکی از روزاقی حدود



شکل ۱ - نقشه زمین‌شناسی منطقه مورد مطالعه (بخشی از چهارگوش کیودر آندگ

Bokouchi, 1979

جدول ۱ - نتایج تجزیه XRF بر روی گذاره‌های منطقه شمال رزن

No Ox	R.Sb.04	R.Sb.06	R.Sb.10	R.Ac.24	R.Ac.30	R.Nz.37	R.Nz.39	R.Nz.40	R.Nz.11	R.Nz.12	R.Nz.15	R.Sb.51	R.E.102	R.L.103
SiO ₂	63.86	63	51.14	61.38	65.72	64.87	63.98	65.38	69.8	66.36	67.32	66.46	73.33	72.8
TiO ₂	0.623	0.84	1.611	1.068	0.804	0.77	1.09	1.06	0.723	0.815	0.74	0.96	0.45	0.47
Al ₂ O ₃	15.59	16.08	15.42	14.82	15.54	15.23	15.78	15.11	12.3	15.23	12.7	13.92	13.81	13.64
Fe ₂ O ₃	2.183	2.34	2.111	2.568	2.332	2.304	2.27	2.56	2.232	2.315	2.24	2.46	1.95	1.97
FeO	3.847	4.34	5.159	4.176	3.705	3.63	3	2.467	1.127	2.225	1.6	3.98	9.6	1.06
MnO	0.1133	0.22	0.735	0.13	0.283	0.137	0.237	0.315	0.374	0.185	0.233	0.2	0.16	0.185
Mn ₂ O	3.9	1.92	3.35	2.3	2.33	1.665	1.946	0.678	0.788	1.6	1.865	2.129	0.82	0.95
CaO	2.127	2.86	12.21	1.163	3.229	3.688	3.61	4.717	4.9	3.27	2.405	3.83	1.42	1.1
Na ₂ O	3.9	4.9	2.84	1.6	2.719	5.025	4.78	5.307	4.93	4.41	4.27	2.718	3.55	3.53
K ₂ O	1.78	2.53	2.16	5.603	2.85	0.95	0.76	0.817	1.708	2.8	3.265	2.86	3.45	3.88
P ₂ O ₅	0.142	0.232	0.595	0.29	0.303	0.23	0.43	0.415	0.38	0.266	0.258	0.23	0.195	0.22
TOTAL	98.99	99.02	98.93	97.9	99.8	98.9	97.88	98.8	99.2	99.5	99.7	99.75	99.6	99.7

No Ox	R.E.104	R.E.108	R.E.110	R.E.115	R.E.116	R.E.117	R.AF.408	R.A.F.315	R.AF.203	R.AF.155	R.AF.321	R.AF.322	R.A.206
SiO ₂	74.53	71.06	68.7	69.94	65.26	70.11	45.64	20.07	67.77	38.7	57.28	57.06	61.46
TiO ₂	9.58	0.48	9.86	9.77	0.77	9.68	2.127	1.19	0.72	1.79	0.705	0.86	0.894
Al ₂ O ₃	13.49	15.02	15.44	14.16	12.34	15.46	15.9%	12.96	14.28	16.31	16.37	16.45	12.39
Fe ₂ O ₃	2.08	1.98	2.36	2.27	2.27	2.18	3.63	2.69	2.22	3.29	2.205	2.36	2.394
FeO	0.75	0.77	1.25	3.817	2.43	9.75	7.73	7.59	2.36	3.29	3.525	3.82	6.33
MnO	0.163	0.1	0.182	0.23	0.272	0.092	0.46	0.58	0.24	0.319	0.415	0.45	0.291
Mn ₂ O	0.32	0.97	0.712	3.076	2.67	0.353	0.007	0.81	1.44	3.309	4.84	3.107	4.02
CaO	1.42	1.33	3.112	3.186	2.63	2.16	10.12	10.83	3.49	7.37	6.51	5.1	3.97
Na ₂ O	3.47	5.12	4.52	3.85	5.3	2.98	2.44	2.75	3.32	3	3.7	4.078	2.71
K ₂ O	0.86	2.27	0.33	2.197	1.44	4.9	2.177	2.82	3.5	2.29	3.205	3.417	2.34
P ₂ O ₅	0.22	0.152	0.318	0.27	0.324	0.207	0.607	1.04	0.15	0.35	0.365	0.527	0.159
TOTAL	99.6	98.02	97.88	99.48	99.24	99.83	99.8	98.83	99.84	99.7	99.85	99.22	97.08

جدول ۲ - جدول نورم حاصل از داده‌های تجزیه شبیه‌ی گذاره‌های اولیگوسن - میون شمال رزن

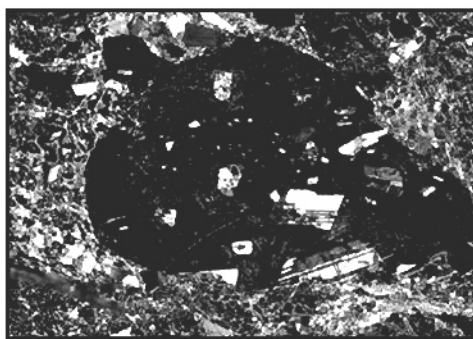
samples	Q	Or	sb	an	lc	ne	C	sc	ns	wo	en	fs	Hy cm	Hy fs	Ol fo	Ol fs	mt	he	il	ap
R.Sb.4	17.11	16.27	32.96	9.27	0	0	2.62	0	0	0	0	12.25	4.46	0	0	3.12	0	1.18	0.31	
R.Sb.06	11.06	20.88	41.41	11.11	0	0	0.11	0	0	0	0	4.80	5.05	0	0	3.39	0	1.60	0.59	
R.Sb.10	0	18.69	22.18	19.95	0	0.99	0	0	0	14.57	8.38	5.53	0	0	0	4.55	0	3.12	1.95	
R.Ac.24	18.77	44.97	13.52	4.07	0	0	2.14	0	0	0	0	5.75	4.39	0	0	3.72	0	2.03	0.63	
R.Ac.30	27.55	16.89	23.3	14.28	0	0	2.75	0	0	0	0	5.86	4.10	0	0	3.35	0	1.53	0.66	
R.Nz.37	15.70	5.63	50.99	11.70	0	0	0	0	0	4.27	1.77	2.52	0.89	1.27	0	0	3.30	0	1.46	0.50
R.Nz.39	17.29	4.53	49.24	14.96	0	0	0	0	0.23	0.15	0.06	4.75	1.96	0	0	3.79	0	2.09	0.95	
R.Nz.40	16.26	4.94	54.48	10.72	0	0	0	0	0	3.16	1.76	1.28	0	0	0	3.79	0	2.06	0.93	
R.Nz.41	29.74	10.18	41.98	6.41	0	0	0	0	0	2.30	1.98	0	0	0	0	2.78	0.33	1.38	0.84	
R.Nz.42	21.20	16.60	37.61	13.35	0	0	0	0	0	0.56	0.40	0.12	3.61	1.05	0	0	3.36	0	1.55	0.58
R.Nz.45	22.30	19.65	35.62	10.29	0	0	1.19	0	0	0	0	3.86	0	0	0	3.79	1.17	1.39	0.56	
R.Sz.51	27.20	16.96	23.03	17.34	0	0	0	0	0.18	0.10	0.07	5.24	3.99	0	0	3.58	0	1.83	0.50	
R.E.102	35.95	20.29	30.09	5.92	0	0	2.10	0	0	0	0	5.24	3.99	0	0	3.58	0	1.83	0.50	
R.E.103	34.22	22.99	29.97	4.18	0	0	2.08	0	0	0	0	2.38	0	0	0	2.66	0.14	0.89	0.48	
R.E.104	36.03	5.10	46.39	7.07	0	0	0.93	0	0	0	0	0.88	0	0	0	1.27	1.21	1.11	0	
R.E.108	29.36	13.45	43.34	5.72	0	0	2.04	0	0	0	0	2.43	0	0	0	1.42	1.01	0.91	0.33	
R.E.110	35.0	1.99	39.3	13.87	0	0	2.72	0	0	0	0	1.82	0	0	0	2.50	0.68	1.67	0.71	
R.E.115	23.07	12.55	31.41	13.74	0	0	0.21	0	0	0	0	7.42	1.09	0	0	8.52	0	1.41	0.57	
R.E.116	18.79	8.52	44.79	11.15	0	0	0.97	0	0	0	0	6.67	3.65	0	0	3.29	0	1.46	0.71	
R.E.117	29.49	29.03	25.23	9.52	0	0	1.76	0	0	0	0	0.83	0	0	0	0.68	1.71	1.29	0.45	
R.AF.408	0	12.89	20.64	26.15	0	0	0	0	8.59	5.18	2.94	4.11	2.33	4.03	2.52	2.57	0	4.05	1.32	
R.AF.415	0	13.89	23.52	16.32	0	0	0	0	13.31	7.75	4.92	1.10	0.70	5.86	4.11	3.95	0	2.29	2.30	
R.AF.203	25.33	21.03	28.10	14.38	0	0	0	0	0.87	0.55	0.27	3.06	1.49	0	0	3.22	0	1.37	0.33	
R.AF.155	7.60	13.54	25.35	24.22	0	0	0	0	4.30	3.20	0.67	10.07	2.12	0	0	4.77	0	3.40	0.76	
R.AF.321	3.20	21.77	30.24	16.22	0	0	0	0	5.41	4.29	0.49	7.41	0.84	0	0	8.08	0	1.30	0.77	
R.AF.322	2.28	20.37	34.73	16.57	0	0	0	0	2.42	1.65	0.58	11.22	3.93	0	0	3.45	0	1.65	1.16	
R.A.206	18.77	44.97	13.32	4.07	0	0	2.14	0	0	0	0	5.75	4.39	0	0	3.72	0	2.03	0.63	

جدول ۳ - نتایج تجزیه ایزوتوپی ⁸⁷Sr/⁸⁶Sr و ¹⁴³Nd/¹⁴⁴Nd منطقه شمال رزن

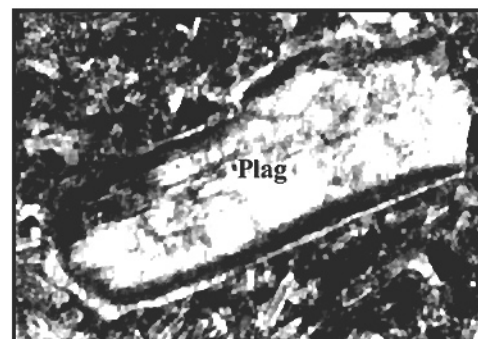
Samples	⁸⁷ Sr/ ⁸⁶ Sr	¹⁴³ Nd/ ¹⁴⁴ Nd
R. A.206	0.706435	0.512725
R. AF.155	0.704045	0.512752
R. AF.321	0.705309	0.512675
R. AF.322	0.705216	0.512661
R.Sb.10	0.704528	0.512731

جدول ۴ - نتایج تجزیه XRF بر روی منگک‌های آذرین نفوذی منطقه شمال رزن

No Ox	AU-202	AM-321	AR-R1	AR-252	AM-104	AU-103	AR-122	AM-302	AM-T-205	AM-T-203	RM-146	AN-322	AR-162	AR-350	AM-303
SiO ₂	45.15	44.92	45	45.7	45.62	45.34	44.93	45	44.92	47.65	45.03	44.9	44.8	44.99	44.98
Al ₂ O ₃	16.66	15.07	13.77	12.94	15.36	17.25	14.04	17.46	13.64	18.64	12.89	13.13	13.05	13.7	12.21
Fe ₂ O ₃	9.69	11.54	9.23	13.09	11.63	8.16	12.99	10.55	10.46	7.79	11.29	13.65	12.11	13.37	13.24
MgO	8.42	8.22	10.76	8.55	6.97	8.19	9.9	7.37	12.14	6.62	12.29	7.26	7.16	10.04	8.69
CaO	10.37	11.02	11.26	9.96	10.8	11.91	9.68	9.63	11.99	10.02	12.31	10.41	12.88	8.65	12.16
Na ₂ O	2.65	2.46	1.84	3.34	2.87	2.87	2.44	2.53	1.47	3.12	1.42	3.93	2.77	2.56	1.59
K ₂ O	1.79	1.12	1.07	0.77	1.51	1.06	0.37	1.69	0.62	1.92	0.43	0.26	1.35	0.82	1.49
MnO	0.17	0.21	0.16	0.2	0.17	0.15	0.19	0.18	0.16	0.14	0.18	0.23	0.2	0.21	0.23
TiO ₂	1.96	1.31	1.7	1.22	1.1	1.88	1.44	1.25	1.69	1.87	0.89	1.66	1.4	1.27	1.26
P ₂ O ₅	0.15	0.37	0.1	0.21	2.16	0.1	0.21	0.34	0.12	0.16	0.11	0.28	0.23	0.24	0.13
Total	97.1	96.15	97.01	95.98	97.19	96.95	96.19	96	97.21	97.93	96.84	95.8	95.71	95.83	95.98



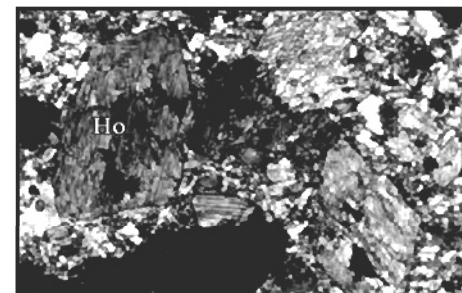
شکل ۳ - میکروسکوپی بازیک در پک نمونه داسیتی - نور پلاریزه
(طول میدان دید ۶ میلی‌متر)



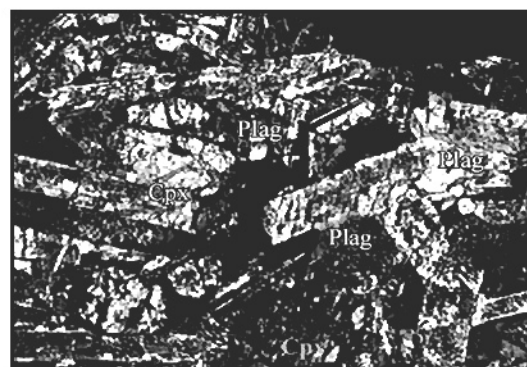
شکل ۲ - تصویر میکروسکوپی از درشت بلور پلازیوکلаз با بافت
غربالی - نور پلاریزه (طول میدان دید ۳ میلی‌متر)



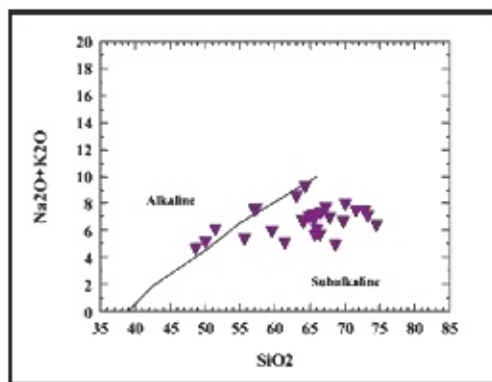
شکل ۵ - تصویر میکروسکوپی از بافت ایترگرانولار در گابرو-
نور پلاریزه (طول میدان دید ۶ میلی‌متر)



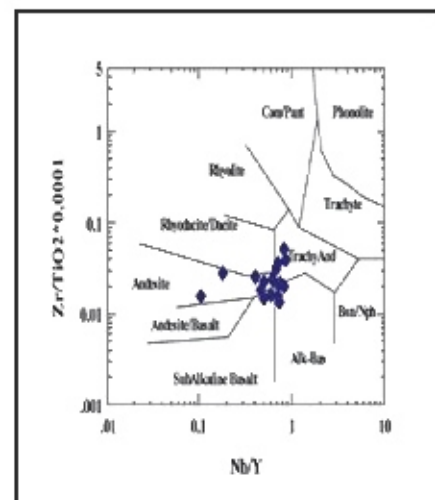
شکل ۴ - تصویر میکروسکوپی از درشت بلورهای هومندلهای
سالم و اپاستی شده - نور پلاریزه (طول میدان دید ۳ میلی‌متر)



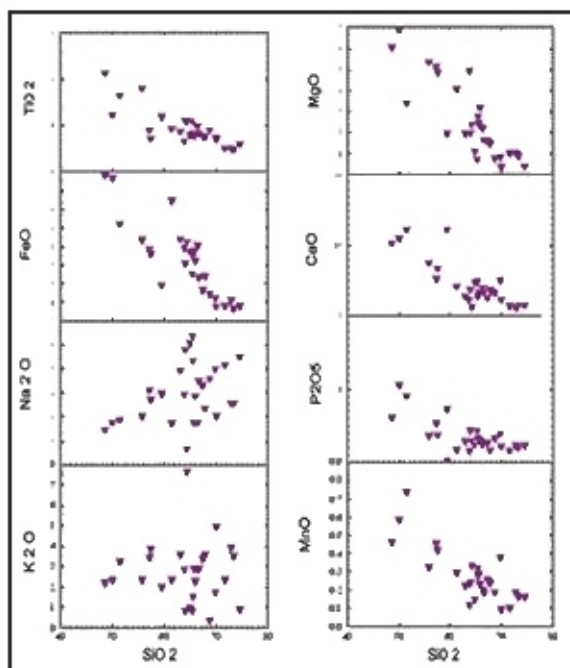
شکل ۶ - تصویر میکروسکوپی از دیگرسانی پلازیوکلاز - نور پلاریزه
(طول میدان دید ۶ میلی‌متر)



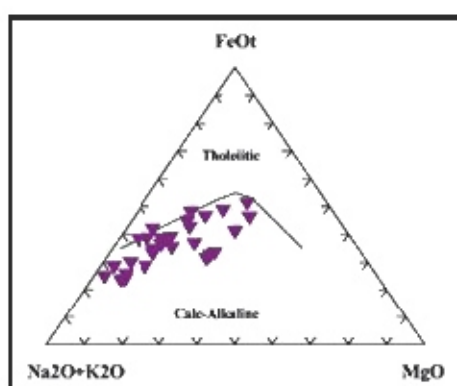
شکل ۸ - نمودار توزین سری مانگانی گذرازهای شمال زدن
(Irwin & Barnes, 1971)
نمودارهای رابط شده‌اند



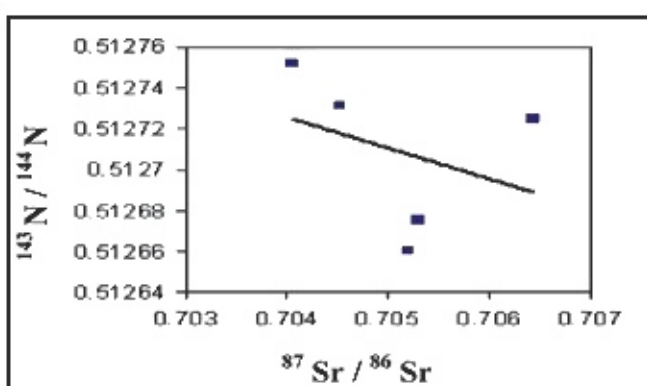
شکل ۹ - امرداد توزین ترکیب سندکتکنیک گذرازهای شمال زدن (Winchester & Floyd, 1977)
نمودارها در سطح‌های داسیت-رویداسیت، تراکن آندزیت، آندزیت و پالات قربانی گرفته شده



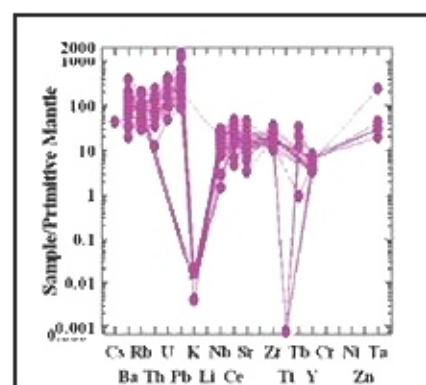
شکل ۱۰ - نمودارهای آكسید هاستر اصلی بر اساس شایع داده‌های تجزیه‌ای نمودارهای گذرازهای بر اساس SiO2 برای نمودارهای گذرازهای منطقه شمال زدن



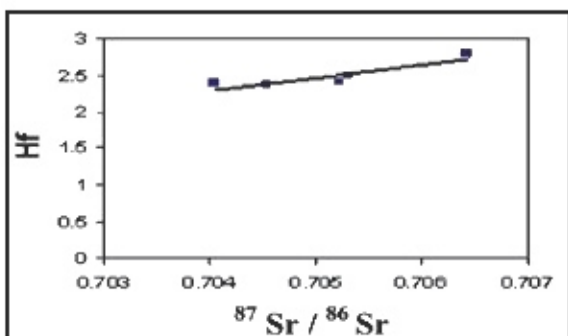
شکل ۱۱ - نمودار توزین سری مانگانی گذرازهای شمال زدن (Irwin & Barnes, 1971)
نمودارهای که در نمودار توزیر در سطح‌های داسیت-رویداسیت، تراکن آندزیت، آندزیت و پالات قربانی گرفته شده



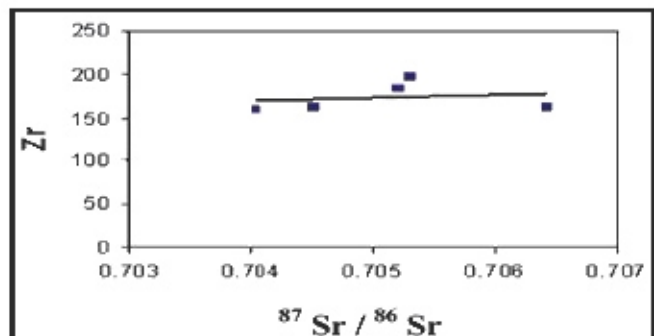
شکل ۱۲ - امرداد همیستگی میزان تغیرات $^{143}\text{Nd}/^{144}\text{Nd}$ و $^{87}\text{Sr}/^{86}\text{Sr}$ بر اساس شایع تجزیه ایزوفریم نمودارهای گذراز اولیگوکسن - جوشن منطقه شمال زدن



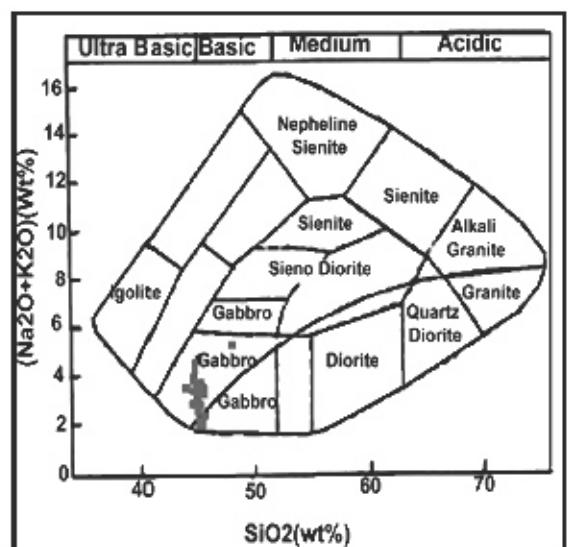
شکل ۱۳ - نمودار هنکوبونی هاستر که با مریط به گذرازهای منطقه شمال زدن همان طبق مازی شده است به گرفته از - بر اساس (McDonough et al., 1992) - تکیس از Rollinson (1997)



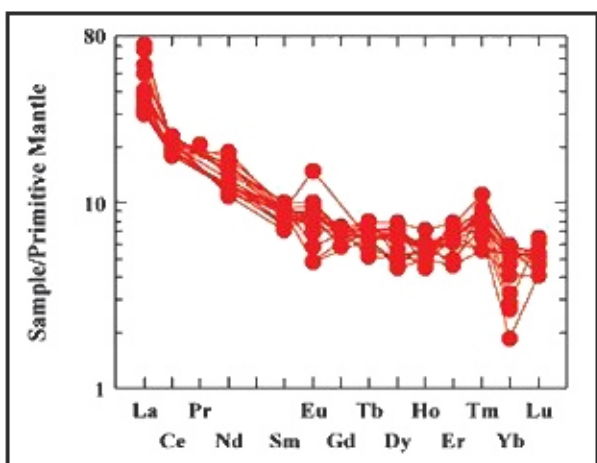
شکل ۱۲ - نمودار همبستگی زوئیمیابی عنصر Hf با نسبت‌های ایزوتوپی $^{87}\text{Sr} / ^{86}\text{Sr}$



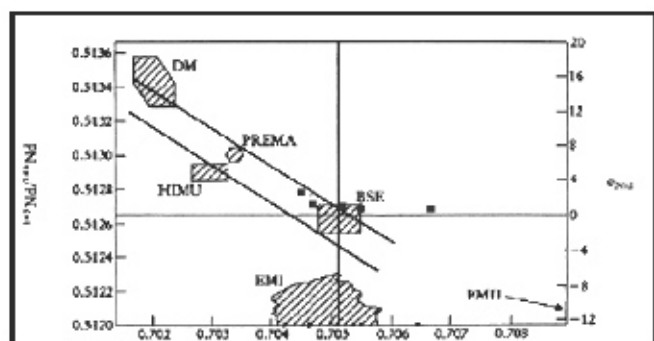
شکل ۱۳ - نمودار همبستگی زوئیمیابی عنصر Zr با نسبت‌های ایزوتوپی $^{87}\text{Sr} / ^{86}\text{Sr}$



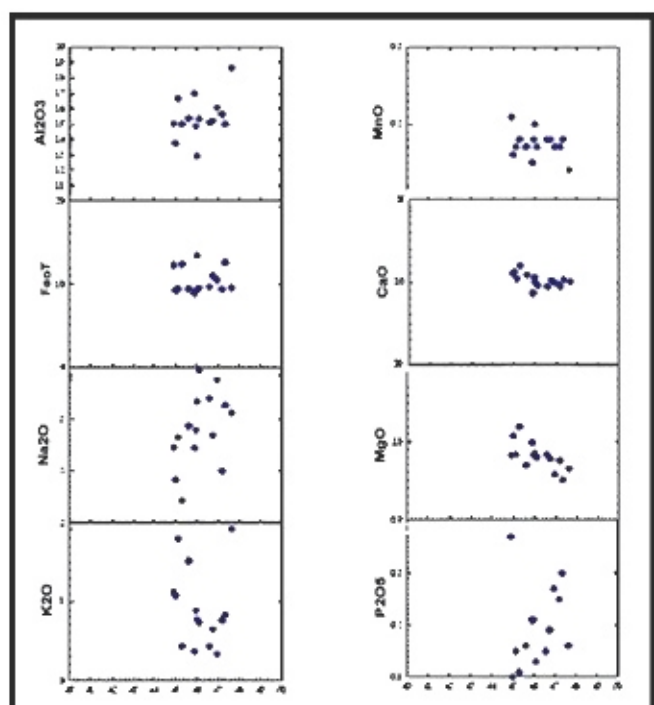
شکل ۱۴ - نمودار کمین ترکیب سنگ‌های نمودارهای آذین تزوفی - تجزیهات آکسیدهای خانسر قیاسی در برای SiO_2 (Cox et al., 1979 و Wilson, 1989) و Na_2O (McDonough et al., 1997) از سه‌بعدی سنگ‌های اگرود واقع شده‌اند.



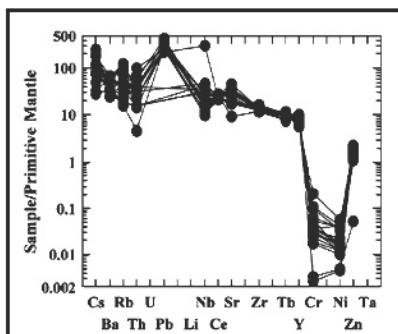
شکل ۱۵ - نمودار هنکیوتی خانسر کیاپ نادرخاکی مریوط به نمودارهای تزوفی که با گروه اویله پوچار شده است. بر اساس (1992) McDonough et al. و (1997) Rollinson از



شکل ۱۶ - نمودار همبستگی ایزوتوپی $^{87}\text{Sr} / ^{86}\text{Sr}$ در برای گروههای $^{140}\text{Nd} / ^{144}\text{Nd}$ (DM, PREMA, HIMU) و $^{143}\text{Nd} / ^{144}\text{Nd}$ (BSE, EMII, BSR) گرفته شده‌اند؛ همچنانه گرفته شده گروههای PRMMA و U/Pb و Pb/Zr به طور خالص مشاهده شده گروههای BSE و PMII در گروههای PREMA و EMII مشاهده شده‌اند.

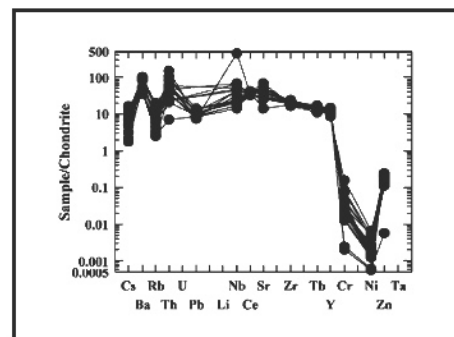


شکل ۱۷ - نمودارهای آکسید خانسر اصلی بر اساس کالج داده‌های تجزیهای نمودارهای سنگ‌های آذین تزوفی شمال روز در برای درصد وزنی SiO_2



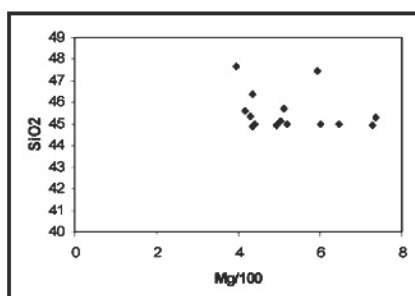
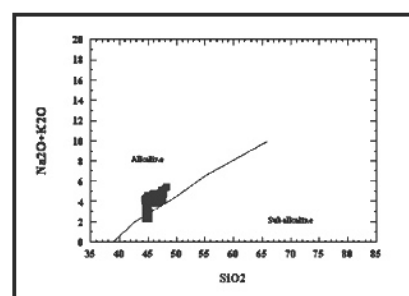
شکل ۲۰ - نمودار عنکبوتی عناصر جزئی مربوط به توده‌های نفوذی که با گوشته اولیه بهنجار

شده است. بر اساس (McDonough et al. (1992) - انتساب از (1997) McDonough et al. (1992) - Rollinson (1997))



شکل ۱۹ - نمودار عنکبوتی عناصر کمیاب مربوط به توده‌های نفوذی که با گشته اولیه بهنجار

شده است. بر اساس (McDonough et al. (1992) - انتساب از (1997) McDonough et al. (1992) - Rollinson (1997))

شکل ۲۲ - نمودار تغیرات $\text{SiO}_2/\text{Mg}/100$ در برابر $\text{Mg}/100$ در سنگ‌های نفوذی با ترکیب گابریو در منطقه شمال روزن

شکل ۲۱ - نمودار تعیین سری ماغماتی توده‌های نفوذی منطقه شمال روزن (باخته آوج) بر

اساس اکسیدهای عناصر قلایی در برابر SiO_2 (Irvin & Baragar, 1971)

کتابخانه

- امامی، م.ه. و خلعتبری، م. ۱۳۷۶- بررسی شواهد اختلاط ماغماتی در سنگ‌های ترشیاری منطقه نوروزان- نظر (ایران مرکزی) خلاصه اولین مقالات همایش سالانه انجمن زمین‌شناسی ایران.
- امینی، ص.. ۱۳۸۱- بافت پلازیوکلازها و اهمیت آن در تفسیرهای پترولوزیکی: شواهدی از سنگ‌های آتششانی شمال شرق قزوون، مجله علوم پایه، انتشارات دانشگاه آزاد اسلامی، جلالی قمبوانی، م. و اصغرخواه فرخانی، ش.. ۱۳۷۸- بافت خربالی پلازیوکلازها و اهمیت آن در تفسیرهای پترولوزیکی، شواهدی از سنگ‌های آتششانی شمال شرق قزوون، فشرده مقالات سومین همایش انجمن زمین‌شناسی ایران، شیراز.
- سرافراز، ف.. ۱۳۷۴- پتروگرافی و رژیوژنی سنگ‌های آذربایجان منطقه آوج (قزوین) پایان‌نامه کارشناسی ارشد، دانشگاه تربیت معلم علایی مهابادی، س. و فردایی، م. ۱۳۸۱- نقشه و گزارش ۱:۱۰۰۰۰۰ روزن همدان، سازمان زمین‌شناسی
- معین وزیری، ح.. ۱۳۸۳- چند نقطه عطف در تاریخچه تکتونوماگماتی ایران، فصلنامه علوم زمین، سال یازدهم، شماره ۵۰ - ۴۹

References

- Blourchi, M. H., 1979- Explanatory text of the Kabudar - Ahang Quadrangle Map . Geol. Surv. Iran
- Devine, J.D. and Sigurdsson, H., 1995-Petrology and eruption styles of Kich'man Genny submarine volcano. Lesser Antilles island arc. J.vole. Geotherm. Res.
- Emami, M.H., 1981- Geologie de la region de Qom - Aran (Iran): Contribution a L'etude Dynamique et Geochemique du Volcanisme Tertiaire de l'Iran Central .These d'Etat.Univer . Grenoble . France .
- Frei, E., 1952- Geological report on Jafarabad - Ab-e-Garm Region between Qazvin and Hamadan. Tehran, National Iranian oil Company
- Hirose, K., 1993- Partial melting of dry peridotites at high pressuredetermination of compositions of melts segregated from peridotite using aggregates of diamond Earth planet SCI lett.114
- Irvine, T.N. and Baragar, H.U., 1971- A guide to Chemical Classification of the Common Volcanic rocks : Can.J. Sci., 8,p523
- Kampunzu,A.B.,Tombale,A.R.Zhai,M.,Bagai,Z.,Majaula,T.andModisi,M.P.,2003-Major and Trace Element Geochemistry of Plutonic Rocks from Francistown, NE Bostonia. Lithos, 430- 460
- Mohajer , G.A., Pierce ,G.R.,1963- Qazvin - Iran Earthquake . Bull .
- Nelson, S.A., 2004 - Magmatic Differentiation, Chemical Variation in rock suite , EENS 212 . Tulan University 15 p
- Rollinson, H.R., 1997- Using geochemical datas : Evaluations, Presentations. John Willy and sons, 352pp.
- Rutherford, M.J., Hill, P.E.J., 1993- Geophy.Res,
- Shelly, D., 1993- Microscopic study of Igneous and Metamorphic rocks . Champan & Hall. London.
- Stahl, A.F., Von,1911- Permian : Handbch.Reh.GeoL Vol.5.pt.6, no8
- Wilson, M., 1989- Igneous petrogenesis , Unwin Hyman, Lond.466pp.

been caused by increasing and accumulation of constructions, and also increase of traffic in duration years. The further studies show that effect of loading decrease with depth. Amount of stability and settlement in each zone have important role to design and select the kind of foundation and lay out depth.

Key words: Zoning, Plat bearing, Settlement, Stability Parameters

For Persian Version see pages 71 to 78

*Corresponding author: F. Rezaei; E-mail: rezaie8@yahoo.com

Petrography, Tectonic Setting and Genesis of Oligocene – Miocene Igneous Rocks in Northern Part of Razan Area

R. Mohammadi^{1*}, M.H., Emami² and M. Vosoghiabedini³

¹ Faculty of Basic Sciences, Ashtian Branch, Azad University, Tehran, Iran

² Research Institute for Earth Sciences, Geological Survey of Iran, Tehran, Iran.

³ Faculty of Earth Sciences, Shahid Beheshti University, Tehran, Iran

Received: 2006 November 14 Accepted: 2009 February 25

Abstract

The area is located about 230 km of southwest of Tehran. Based of geological observations, the plutonic rocks in the area consist of Neogene (Miocene) alkaline gabbro, gabbrodiorite, locogabbro and diabase. The Oligo - Miocene calc-alkaline extrusive rocks are dacite - ryodacite, andesite trachyandesite, hornblendandesite, basaltic andesite and trachybasalt. Studing on isotopic analyses of Nd and Sr indicate that surveyed area were contaminated with crustal rocks of Sialic composition. In isotopy geochemical studies, The Andesite samples are plotted in the limit of BSE; however, it seems that mantling rocks besides being settled in crust (esp. the upper continental crust) have been contaminated with in. The combination of BSE towards enrichment, from the proportion of $^{87}\text{Sr}/^{86}\text{Sr}$ has shifted; a sample of rocks shows this position. Spider diagrams related to trace elements of plutonic samples which are used for identifying the tectonic setting show intrusives are in the extensive regime; while the lavas don't have a steady trend and are similar to subduction zones. This shows that the intrusives of the the investigated area are different genesis from the southern volcanic rocks.

Key words: Magmatic Genesis, Isotopic Geochemistry, Avaj, Razan, Magmatic contamination, Volcanic Rocks, Plutonic rocks

For Persian Version see pages 79 to 88

*Corresponding author: R. Mohammadi; E-mail: mohammadi_geo@yahoo.com

Mineralogy Studies of Mehdiabad Zinc-Lead Deposit- Yazd, Central Iran

M. Ghasemi^{1*}, M. Momenzadeh¹, A. Yaghoubpur², A. A. Mirshokraei³

¹ Geological Survey of Iran, Tehran, Iran.

² Tarbiat- Moalem University, Science Faculty, Tehran, Iran.

³ Itok Engineering Company, Tehran, Iran.

Received: 2007 July 24 Accepted: 2008 February 25

Abstract

Mehdiabad Zn-Pb-Ba deposit is located 110 km south-east of Yazd, in the Central Iran structural zone. The stratigraphic succession consists of three sedimentary formations of lower Cretaceous age. The Sangestan formation, the lowest unit of shale and siltstone with calcarenitic interbeded layers. This unit is overlain by ankeritic massive dolomite and dolomitic limestone of Taft formation. The Abkouh formation at the top is composed of cherty or clayey limestone with conglomeritic intercalation, lenses of massive reef limestone and calcareous shale. The structure of ore body shows a half-graben with a vast N-S syn form being complicated by the presence of poly phase faults. The main normal